

Niveau : licence

PR : EM dans les milieux diélectriques ; modèle de l'électron élastiquement lié

Biblio : électromagnétisme 2, Feraux & Renault, DUNOD + physique FC/PC\*, ellipses  
 cours P. Puzo : users.lal.in2p3/puzo/em  
 cours R. Grandin : ipgp.fr chapitre4 - milieux  
 cours UPMC : edu.upmc chap. 6 - électromagnétisme des milieux

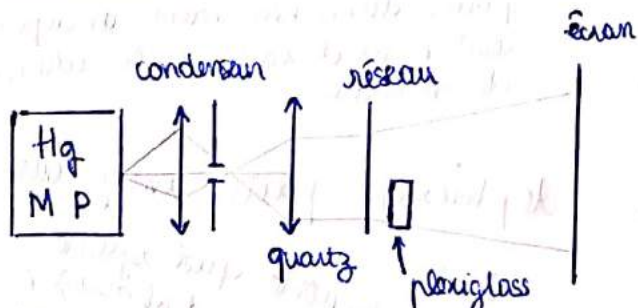
Intro : Lorsqu'elles rencontrent un milieu différent du vide, les ondes EM sont modifiées par l'interaction entre les champs électrique et magnétique propre à l'onde et les champs produits par la réaction du milieu.

Cette réaction est induite par la mise en mouvement des charges emprisonnées dans le milieu. Ce mouvement s'effectue en réponse au champ électrique (polarisation) ou par la modification des dipôles magnétiques présents à l'intérieur du milieu sous l'effet du champ magnétique (aimantation).

Dans les milieux conducteurs, des charges libres sont susceptibles de se mouvoir dans toute la masse du matériau ; il en résulte l'annulation du champ  $E$  interne

Dans les milieux isolants et neutres un courant de charge libres ne peut exister. Le champ  $E$  dans de tels milieux n'est pas obligatoirement nul. Ce sont les milieux diélectriques

Manip introductive du grec "dia" = à travers.



MP ou HP  $\rightarrow$  UV  
~~UV~~  $\rightarrow$   $\nabla B$  (Hg)

réseau par réflexion

on néglige effet de  $\vec{B}$  car force de Lorentz  $q(\vec{E} + \vec{v} \wedge \vec{B})$   
 si  $\vec{e}$  non relativiste

# I - OEM dans un diélectrique : généralités

## 1) Equations de Maxwell dans un diélectrique

⊕ isolant :  $\rho_{\text{liere}} = 0$  ;  $\vec{J}_{\text{liere}} = \vec{0}$

non magnétique :  $\vec{H} = \frac{\vec{B}}{\mu_0}$

$$\begin{aligned} \text{div}(\vec{D}) &= 0 \\ \text{div}(\vec{B}) &= 0 \\ \text{rot}(\vec{E}) &= -\frac{\partial \vec{B}}{\partial t} \\ \text{rot}(\vec{H}) &= \frac{\partial \vec{D}}{\partial t} \end{aligned}$$

$$\vec{D} = \epsilon_0 \vec{E} + \vec{P}$$

que vaut  $\vec{P}$ ?

### ⊕ lhi

\* cas statique :  $\vec{E} = \vec{cst}$

$$\vec{P} = \epsilon_0 \chi_e \vec{E} \Rightarrow \vec{D} = \underbrace{\epsilon_0}_{\epsilon} (1 + \chi_e) \vec{E}$$

\* cas dynamique :  $\vec{E} = \vec{E}_0 \cos(\omega t)$

$$\vec{P}(t) = \epsilon_0 (\chi'(\omega) \cos(\omega t) + \chi''(\omega) \sin(\omega t)) \vec{E}_0$$

terme en phase  $\propto \chi'$

terme en quadrature  $\propto \chi''$

$$\vec{D}(t) = (\epsilon' \cos(\omega t) + \epsilon'' \sin(\omega t)) \vec{E}_0$$

$$\epsilon'(\omega) = \epsilon_0 [1 + \chi'(\omega)]$$

$$\epsilon''(\omega) = \epsilon_0 \chi''(\omega)$$

que valent  $\chi'(\omega)$  et  $\chi''(\omega)$  ?

modèle de l' $e^-$  élastiquement lié (modèle d'oscillateur amorti)

$$\alpha(\omega) = \frac{e^2}{\epsilon_0 m} \times \frac{1}{\omega_0^2 - \omega^2 - i\gamma\omega}$$

passage  $\mathbb{R}/\text{complexo}$   
pas évident  
PFD explique ce passage

déphasage : partie imaginaire

dans n'importe quel système où il y a un déphasage, il y a des pertes

$\omega_0 \rightarrow$  "pulsation de résonance"

$\rightarrow$  loin de résonance :  $|\omega_0 - \omega| \gg \gamma \rightarrow \alpha(\omega) \approx \frac{e^2}{\epsilon_0 m} \times \frac{1}{\omega_0^2 - \omega^2} \in \mathbb{R}$



de la résonance :  $\omega \ll \omega_0 \rightarrow \alpha(\omega) \approx$  polarisabilité statique

$\omega \gg \omega_0 \rightarrow \alpha(\omega) \leq 0$  : inertie des  $e^-$  prépondérante et opposition de phase.

proche de résonance :  $\alpha(\omega) \in \mathbb{C}$

$$\text{Re}(\alpha(\omega)) = \alpha'(\omega) = \frac{e^2}{\epsilon_0 m} \times \frac{\omega_0^2 - \omega^2}{(\omega_0^2 - \omega^2)^2 + \gamma^2 \omega^2}$$

$$\text{Im}(\alpha(\omega)) = \alpha''(\omega) = \frac{e^2}{\epsilon_0 m} \times \frac{\gamma \omega}{(\omega_0^2 - \omega^2)^2 + \gamma^2 \omega^2}$$

$$\frac{|\omega_0 - \omega|}{\omega_0} \ll 1 \text{ et } (\omega_0^2 - \omega^2) \approx (\omega_0 - \omega) 2\omega_0$$

$$\alpha'(\omega) \approx \frac{e^2}{2\epsilon_0 m \omega_0} \times \frac{\omega_0 - \omega}{(\omega_0 - \omega)^2 + \gamma^2/4}$$

$$\alpha''(\omega) \approx \frac{e^2}{2\epsilon_0 m \omega_0} \times \frac{\gamma/2}{(\omega_0 - \omega)^2 + \gamma^2/4}$$

dans un milieu de densité d'atomes  $N$  :  $\chi(\omega) = N \alpha(\omega)$

$$\rightarrow \epsilon_r(\omega)$$

relation de Clausius  
Mosotti

$\hookrightarrow$  montrer par diapo.

commentaire : partie Re + partie Im

loin de la résonance  $\epsilon_r(\omega) \in \mathbb{R}$

$\omega \ll \omega_0 \rightarrow$  retrouver la valeur statique

$\omega \gg \omega_0 \rightarrow \epsilon_r(\omega) < 0$  : inertie des  $e^-$  en opposition de phase

proche résonance :  $\epsilon_r(\omega) \in \mathbb{C}$

partie Im  $\leftrightarrow$  absorption par le milieu

## 2) Onde monochromatique dans un diélectrique lhi

$$\vec{E} = \vec{E}_\omega e^{-i\omega t}$$

$$\vec{B} = \vec{B}_\omega e^{-i\omega t}$$

$$\vec{D} = \vec{D}_\omega e^{-i\omega t} = \epsilon(\omega) \vec{E}$$

↑  
si milieu  
non isotrope  
 $\epsilon(\omega)$  est  
une matrice

Réécriture des équations de Maxwell:

$$\begin{aligned} \text{div}(\vec{E}_\omega) &= 0 \\ \text{div}(\vec{B}_\omega) &= 0 \\ \text{rot}(\vec{E}_\omega) - i\omega \vec{B}_\omega &= \vec{0} \quad (*) \\ \text{rot}(\vec{B}_\omega) + i\omega \epsilon(\omega) \vec{E}_\omega &= \vec{0} \end{aligned}$$

$$\text{rot} (*) \Rightarrow \vec{0} = \text{grad}(\text{div}(\vec{E}_\omega)) - \Delta \vec{E}_\omega - i\omega \text{rot}(\vec{B}_\omega)$$

$$\vec{0} = -\Delta \vec{E}_\omega - i\omega (i\omega \epsilon_0 \vec{E}_\omega)$$

$$\vec{0} = \Delta \vec{E}_\omega + \omega^2 \epsilon(\omega) \epsilon_0 \vec{E}_\omega$$

$\vec{E}_\omega$  et  $\vec{B}_\omega$  suivent l'équation ~~de d'Alembert~~:  $\Delta \vec{E}_\omega + \omega^2 \epsilon(\omega) \epsilon_0 \vec{E}_\omega = \vec{0}$

Faux

notamment

équation d'onde

## 3) OPP monochromatique dans lhi

$$\vec{k} = k \vec{u}$$

$$\vec{E} = \vec{E}_0 e^{i(\vec{k} \cdot \vec{r} - \omega t)}$$

$$\vec{B} = \vec{B}_0 e^{i(\vec{k} \cdot \vec{r} - \omega t)}$$

équations de Maxwell:  $\vec{k} \cdot \vec{E} = 0$   
 $\vec{k} \cdot \vec{B} = 0$  } commentaire:  $\vec{E}$  et  $\vec{B}$  sont transverses  
comme ds le vide

$\vec{k} \wedge \vec{E} = \omega \vec{B}$   
 $\vec{k} \wedge \vec{B} = -\omega \epsilon(\omega) \epsilon_0 \vec{E}$  } commentaire:  $\vec{u}, \vec{E}$  et  $\vec{B}$  forment un  
trièdre direct comme ds le  
vide

Relation de dispersion:  $\vec{B} = \frac{1}{\omega} \vec{k} \wedge \vec{E}$

$$-\omega \epsilon(\omega) \epsilon_0 \vec{E} = \frac{1}{\omega} \vec{k} \wedge (\vec{k} \wedge \vec{B}) = \frac{1}{\omega} k^2 \vec{u} \wedge (\vec{u} \wedge \vec{E})$$

$$-\omega \epsilon(\omega) \epsilon_0 \vec{E} = \frac{1}{\omega} k^2 [ (\vec{u} \cdot \vec{E}) \vec{u} - (\vec{u} \cdot \vec{u}) \vec{E} ]$$

$$-\omega^2 \epsilon(\omega) \epsilon_0 \vec{E} = -k^2 \vec{E}$$

$$\Rightarrow k^2 = \omega^2 \epsilon_0 \epsilon(\omega)$$

$$\epsilon = \frac{\omega^2}{c^2} \epsilon_r(\omega)$$

①  $\epsilon_r(\omega) \in \mathbb{R}^+$ :

$k^2 \geq 0$ , OPP sans atténuation

$$v_p = \frac{c}{k(\omega)} \rightarrow \text{dispersion}$$

analogie avec optique:  $n = \sqrt{\epsilon_r(\omega)}$  indice

$$\vec{k} = n \vec{k}_0$$

$$\lambda = \frac{\lambda_0}{n}$$

$$\langle \vec{R} \rangle = \langle \vec{E} \wedge \frac{\vec{B}}{\mu_0} \rangle = \frac{1}{2} \text{cn} \epsilon_0 E_0^2 \vec{u}$$

plus développer le vecteur de Poynting ou ne pas le faire

②  $\epsilon_r(\omega) \in \mathbb{R}^-$ :  $k^2 \leq 0$

$$\vec{k}(\omega) = \pm i \vec{k}''(\omega)$$

$$\vec{E} = \vec{E}_0 e^{\pm \vec{k}'' \cdot \vec{x}} e^{-i\omega t} \rightarrow \text{onde evanescente}$$

$$\langle \vec{R} \rangle = \frac{1}{2} \text{cn} \epsilon_0 E_0 e^{-2\vec{k}'' \cdot \vec{x}} \vec{u}$$

pas pertinent

③  $\epsilon_r(\omega) \in \mathbb{C}$ :

$$\vec{k}(\omega) = \vec{k}'(\omega) + i \vec{k}''(\omega)$$

$$\vec{E} = \vec{E}_0 e^{-\vec{k}'' \cdot \vec{r}} e^{i(\vec{k}' \cdot \vec{r} - \omega t)}$$

$$\epsilon_r(\omega) = [n'(\omega) + i n''(\omega)]^2$$
  
↑ indice de refraction      ↑ indice d'extinction

$$\langle \vec{R} \rangle = \frac{1}{2} \text{cn}' \epsilon_0 E_0^2 e^{-2n'' \frac{\omega}{c}} \vec{u}$$



## II - Lien avec l'optique

1) Indice optique : milieu transparent, isotrope et non-absorbant

Loi de Cauchy :

$$\chi(\omega) \approx \frac{e^2}{\epsilon_0 m} \times \frac{1}{\omega_0^2 - \omega^2}$$

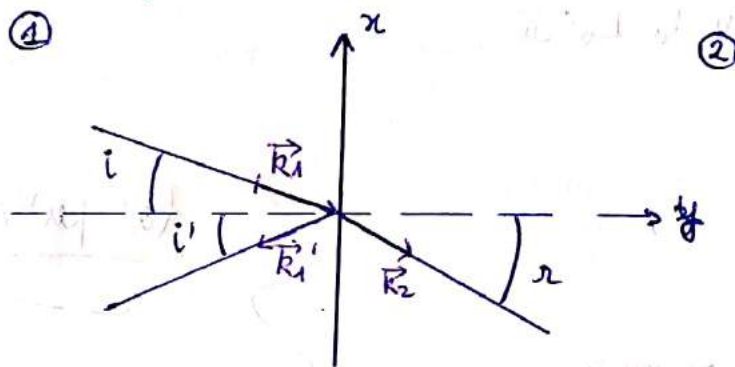
$$\chi = N\alpha$$

$$\epsilon_r = 1 + \chi$$

$$n^2 = \epsilon_r$$

$$\left. \begin{array}{l} \text{DL car } \left| \frac{\omega - \omega_0}{\omega_0} \right| \ll 1 \\ \text{Item 0} \end{array} \right\} n^2 = A + \frac{B}{\lambda^2} + \frac{C}{\lambda^4}$$

## 2) Réflexion et réfraction d'une OPEM monochromatique



Les relations de passage s'expriment ttes sous la forme :

$$a_1 e^{i(\vec{k}_1 \cdot \vec{r} - \omega_1 t)} + a_1' e^{i(\vec{k}_1' \cdot \vec{r} - \omega_1' t)} = a_2 e^{i(\vec{k}_2 \cdot \vec{r} - \omega_2 t)}$$

$$\Leftrightarrow a_1 + a_1' e^{i((\vec{k}_1' - \vec{k}_1) \cdot \vec{r} - (\omega_1' - \omega_1)t)} = a_2 e^{i((\vec{k}_2 - \vec{k}_1) \cdot \vec{r} - (\omega_2 - \omega_1)t)}$$

$\forall t$  et pour tout  $\vec{r}$  e interface

exponentielles linéairement indépendantes :  $\omega_1 = \omega_1' = \omega_2$

$$k_1' x = k_1 x \quad \Leftrightarrow n_1 k_0 \sin(i) = -n_1 k_0 \sin(i') \quad \Leftrightarrow -i = i'$$

$$k_2 x = k_1 x \quad \Leftrightarrow n_2 k_0 \sin(r) = n_1 k_0 \sin(i) \quad \Rightarrow n_2 \sin(r) = n_1 \sin(i)$$

## 3) Coefficients de réflexion et de transmission en incidence normale

$$\text{Relations de passage : } \vec{E}_{T2} - \vec{E}_{R1} = \vec{E}_{I1} \quad \vec{B}_2 - \vec{B}_1 = \vec{B}_I$$

$$\epsilon_{r2} \vec{E}_{N2} = \epsilon_{r1} \vec{E}_{N1}$$

pendance normale donc pas de composante normale de  $\vec{E}$  ou  $\vec{B}$   
comme les milieux sont isotropes, les directions de  $\vec{E}_r$  et  $\vec{B}_r$  sont conservées

$$\vec{E}_r = r \vec{E}_i$$
$$\vec{E}_t = t \vec{E}_i$$

et la continuité des composantes tangentielles donne  
 $\vec{E}_i + r \vec{E}_i = t \vec{E}_i \Leftrightarrow \boxed{1+r=t}$

à l'aide de M-F: on a:

$$\vec{B}_i = \frac{\vec{k}_i \wedge \vec{E}_i}{\omega} = \frac{n_1}{c} E_0 e^{i\omega(t - \frac{n_1}{c}x)} \vec{e}_z$$
$$\vec{B}_r = -r \frac{n_1}{c} E_0 e^{i\omega(t + \frac{n_1}{c}x)} \vec{e}_z$$
$$\vec{B}_t = t \frac{n_2}{c} E_0 e^{i\omega(t - \frac{n_2}{c}x)} \vec{e}_z$$

la continuité du champ impose en  $z=0$ :

$$\vec{B}_i(z=0) + \vec{B}_r(z=0) = \vec{B}_t(z=0) \quad \text{d'où } 1-r = \frac{n_1}{n_2} t$$

$$\text{d'où } r = \frac{n_1 - n_2}{n_1 + n_2} \quad \text{et } t = \frac{2n_1}{n_1 + n_2}$$

Rq: on remarque que la réflexion d'un milieu  $\ominus$  réfringent sur un milieu  $\oplus$  réfringent ( $n_1 < n_2$ ) s'accompagne d'un changement de signe qui traduit un déphasage de  $\pi$ .

en énergie:  $R = \left( \frac{n_1 - n_2}{n_1 + n_2} \right)^2$   
 $T = \frac{4n_1 n_2}{(n_1 + n_2)^2}$

Rq: le calcul aurait pu s'effectuer de la même façon pour des indices complexes

AN: interface air-verre:  $n_1 \approx 1$ ;  $n_2 \approx 1,5$   
facteur de transmission énergétique  $\sim 92\%$

dans les systèmes optiques comportant un grand nombre de lentilles l'atténuation peut être importante et les faisceaux réfléchis former des images parasites  
on traite alors les surfaces optiques par des revêtements anti-reflets qui sont en fait des couches minces superposées de diélectriques d'épaisseurs et d'indices soigneusement calculés et contrôlés.